

SI 2504

Q-B-E-3348

?

Lisby

Tangle E

The Structure of Electro
lytic solutions. New York

Mag

$\text{Li}_2\text{SO}_4(\text{K})$
3836

Pickering S. U. ¹⁸⁸⁵

Леонидов

$\Delta_f H^\circ$

J. Chem. Soc., 1885,
42, p. 98

Ле-85

$\text{Li}_2\text{SO}_4(\text{K})$



$\Delta_f H^\circ$

Li_2SO_4 (s)
3837

1886
Pickering S. U.

Леонидов

$\Delta_f H^\circ$

Z. Chem. Soc., 1886,
49, p. 260

Ле-66



Li_2SO_4 (s) $\Delta_f H^\circ$

B-P-3010-X /

1905

Fig 804

Hittner R., Tamman J.

Z. acco. Chev., 1905,

43

215

Coll. G. C.

Tm =

859 + 243

3133

1907

Hacken

1. Koenigs Jahrb. Mineral. Geol. Geologie
Bd. 24, 1 (1907)

Li_2SO_4 ; Ttr; Tm;

Na_2SO_4 ; Ttr; Tm';

K_2SO_4 ; Tm';

Circ. 500

Be



$\text{Li}_2\text{SD}_4(\text{K})$
4827

Zukowsky G. J. 1911

Neostugob

$\Delta_f H^\circ$

Z. anorg. und
allgem. Chem.,
1911, 71, S. 403

Ne-91

$\text{Li}_2\text{SD}_4(\text{K}) \Delta_f H^\circ$

1913

3079

Li₂SO₄ (T_{tr} , T_w); Li₂CO₃, NaNH₂ (T_m)

Amadori M.,

Atti accad. naz. Lincei. Cl.-sci. fis.,
mat. e natur., 1913, 22 II, 332

Cire 500

● B

eesq q.k

1913

3056

 Li_2SO_4 (T_{tr} , T_u)

Calcagni , Marotta ,

Gazz. chiv. ital., 1913, 45, II, 368

B



3057

1913

Celcagni and Marotta
4. Gazz. chim. Ital. 45, II, 300 (1913)

Li_2SO_4 ; Tm;
 $\text{K}_2\text{SO}_4 \cdot 2\text{CoSO}_4$; Tm;

Circ. 500

Be +1



~~LizSO₄~~
358148

Müller H.

1914

Z. Kristallogr.

Molecular

~~T_{tr}, T_m~~

[10]

1914, 53, S. 511



Liz SO₄
~~T_{tr}, T_m~~

1923

BP-X-30411 W-1965A 3 VII 2052-BgZnSO₄; NaOH, KOH, ZnO (Tr)

Ewles J.

Phylos. Mag., 1923, 45, 957-968

Б

Cire. 500

семб с.к.

3017-X

1924

Li₂SO₄, Na₂MoO₄, K₂SO₄, K₂CrO₄,
NaCl, KCl (T_{tr.}, oH_{tr.})

Hare

Philos. Mag., 1924, 48, 412

Gre 500

● B

err. Q.K

BP-X-3144

1981

Bp X-1908

$\text{HgSO}_4(\text{aq})$
(dil passabn.) Large 8., Streeck H.,
g. phys. chem., 1981,
A 157, N 1-2, 1-81.

$\alpha\text{-Li}_2\text{SO}_4$

монохр.

модулем.

Albright J. S. 1932

Z. Kristallogr.,

1932, 84, 150

1932

261

Li_2SO_4 (t.d.f.)

Ueta Y.

J. Chem. Soc. Japan 1932, 53,
559-65

"Thermodynamic study of ..."

5 M

522
522
 Li_2SO_4

Ресорко ил. А.

1933

III Odessa
 T_{t_2}

Музей одесской химии
1933, 3, c. 1026

[13]



Li_2SO_4
 \overline{T}_{t_2}

Li_2SO_4
4570

Ueda Ψ.

1933

Лесные об

$A_f H^\circ$

Sci. Repts. Tôhoku Imp.

Univ., Ser. I, 1933, 22

~~マダラウカ~~, p. 879

Le-90

$\text{Li}_2\text{SO}_4(\text{K})$

$A_f H^\circ$

1934

216-X-BP

LiCl.2H₂O, Li₂SO₄.H₂O (H_{sol})

Applebey M.P., Crawford F.H.,
Gordon K.

J.Chem.Soc. 1934, 1665-71
Vapor pressures of ...

W

PBX-3333

1943

Lisop. H₂O
2

Campbell A. W.

J. Am. chem. Soc. 65,
2268 (1943)

Tt₂, Tm,
P

Li_2SO_4 · 4195 Schmitz - Dumont O.,
Heckmann I. 1949

Z. anorg. und allg.
1949, 260, S. 49

[14] \bullet $\overline{\text{I}_{\text{H}}}, \overline{\text{I}_{\text{M}}} \text{Li}_2\text{SO}_4$

1949

256 - χ - BP

Li_2SO_4 , Na_2SO_4 , K_2SO_4 , Rb_2SO_4 ,

Cs_2SO_4 (p)

Спицын В.И., Шостак В.И.

Ж.общ.хим., 1949, 19,
1801-1808

Термическая стабильность ...

M, Be

Li_2SO_4
36.3

Дергунов Е. Г. 1957

Минерал
1951, № 25, с. 584

H_2, Tm

[15]



Li_2SO_4
 $\overline{\text{H}_2}, \overline{\text{Tm}}$

1953

200

МАСЛ. МАГИСТР. (СТАР.)

ДОПОЛНИТЕЛЬНО, АВТОМОБИЛЬ,
ДОПОЛНИТЕЛЬНО СОВЕСТНО ВЫС. АВТОМАТИЧЕСКОГО
ДВИЖУЩИЯ, 1953, № 22-22

ДОПОЛНИТЕЛЬНО ...

20

БР-X-3429

1953

БР VI-767

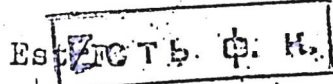
Li_2SO_4 , Li_2Cl_2 , CoCl_2 (Ttr)

Леснух Д.С., Бергман А.Г.

Ж. общ. хим., 1953, 23, 894-901

Reciprocal system of sulfates and chlorides
of lithium and cobalt.

Be



CA., 1954, 5181 c

B - Ф - 208 - Э |

1953

712804

Бернсун А.Р., Акимов Е.К.

Изб. сектюра греч. худ.

августа ИОАНХ СССР, 1953,

23, 222.

,

Сер. 710

Tm = 856 + 273 =

1954

251 - X - BGP

Li_2SO_4 , $\text{Li}_2\text{SO}_4 \cdot \text{K}_2\text{SO}_4$, LiCl (Ttr)

Акопов Е.К., Бергман А.Г.

Изв. Сектора физ.-хим. анализа
ИОНХ АН СССР, 1954, 25, 255-262

Комплексообразование ...

Be

B-P- 221-X

1954

Ti₂SO₄

Бернадс А.Г., Киселева А.И.
Юсупова Б.Н.

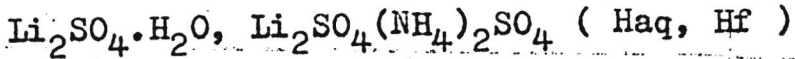
М. обнр. химии, 1954,

24, № 11, 1935

Сес. TiCl

Tm = 860 + 273 =

1954



Campbell A.N., McCulloch W.J.G.,
Kartzmark E.M.

Canad. J. Chem., 1954, 32, N 7,
696-707

The system lithium ...

W

БОР - 205 - ^х керамик) 1954₂

Воскресенская Н.К., Бакашев Е.А.

Li_2SO_4

Известия СФХА, 1954, 25, 150

$\text{Cr} > 298,16$

Калориметр

Термодинамические свойства
безводного сульфата
лития при высоких $T = pax$

$$\underline{\underline{\alpha}} : C_p = 33,34 + 15,64 \cdot 10^{-3} T - \\ - 8,993 \cdot 10^5 T^{-2} (293,16 - 859\text{K})$$

$$\Delta H_{\text{verb}}(859\text{K}) = 6530,7 \text{ kJ/mol}; \Delta S = 7,63,9$$

$$\underline{\underline{\beta}} C_p = 52,30 (859 - 1133\text{K}) \quad 7,5$$

$$\Delta H_{\text{un}}(1133\text{K}) = 1833,0 \text{ kJ/mol} \quad (\Delta S = 1,62,0)$$

$$\underline{\underline{\gamma}}$$

$$C_p = 48,40 \text{ kJ/mol} \\ (1133 - 1270\text{K})$$

$$\frac{48,40}{7} = 6,9$$

Li_2SO_4 | Токсубек обл. С.
4862 | Беркиман А. Г. | 1954

Малышев | №. одногор. коллекции
Тм | 1954, 24, с. 1940 ♂

[44] | . | Li_2SO_4
Tm | . | .

Li_2SO_4 | Korodles F., Zigler G. ¹⁹⁵⁴

Molecular | ^K
Tm | Z. Elektrochem
~~Ber. Bunsen-Ges.~~
1954, 58, p. 168

[43]

● Li_2SO_4 Tm 8

Воскресенская Н. Р.; 1955

Li_2SO_4

Балашов Г. Н.

Изб. Рентгеноа опиc.-хим.

академии ИОНХ АН СССР,

1955, № 6, 111-116.

Q > 298,16

Метриодинамические свойства
свободной гидроксидной соли
 $\text{Li}_2\text{SO}_4 \cdot \text{K}_2\text{SO}_4$ при восстановлении
марганцовокислых ионов.

x-56-2-3383

QB X-3426

1956

Lis SA

Бакчукская Е.Л.
Бердичев Т.А.

№. избрания. холода
1956, 1, WF, 1629-34

Ttr

ΦB X-3363

1956

Lia SOy

Fischmeister H. F.

Z. phys. Chem. (BZR),
1956, f, WTZ, 91-5'

Ttr, oHtr

Li_2SO_4

(ΔH_m)

Grojatheim K., Urnes f. | 1956

[GB - X - 257]

Z. Elektrochim.

1956, 60, 626

1956

254 - X - B9

Li_2SO_4 (Ttr)

Гладущенко В.А., Бергман А.Г.
Научн.тр. Новочеркас. политехн.

ин-та, 1956, -27/41/, 49-60

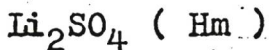
Необратимо-взаимная система ...

Be

Бест. ф. к.

1956

257



Grjotheim K., Urnes S.

Z. Elektrochem., 1956, 60, N 6,
626-629

Die Strukturelemente des ...

Be

1956

255 - $\bar{\chi}$ - BP $(\text{Li}_2\text{SO}_4, \text{Li}_2\text{BeF}_4)$ (Ttr, Tm)

Левина М.Е., Новоселова А.В.,
Симанов Ю.П.,
Вестн.Моск.ун-та, 1956, № I,
239-243
О взаимодействии ...

Be

1703днжов П.Г.

1956

Li_2SO_4

Ириси, 1956, 1, №3, 356

Возвращение приставок
субъекта мотив

1957 -

$\beta\text{-Li}_2\text{SiO}_4$.
Кубическая
Модулук.

Ферсакг, Крор-Му
Förland T., Krogh - Moe af.
Acta chem. scand., 1957, 11,
No 3, 565-567

Сингония биокомплексной
нон-модулукагүй сүйөртөн
жисим

X-58-3-7008

Bq - 258 - X

1957

Li_2SO_4 , Na_2SO_4 , K_2SO_4 , Cs_2SO_4 (Hm, Sm)

Petit C., Bourlange C.

C.r.Acad. sci., 1957, 245,
N 21, 1788-1789

Relations entre ...

Be

F

Понов И. И. БР-X-266 | 957

Li_2SO_4

Тарасинская А. В.

Смирнова Н. Н.

Ил. Исправл. Химии, 1957,
2, № 7, 1957-1959

Таблицы геохимические

$\text{Li}_2\text{SO}_4 \cdot \text{H}_2\text{O}$ при $25-45^\circ$

X-2-58-3766

Lis*su*

Morris D.F.C., [Moppuc]

1858

Phys. and Chem. Solids, 1858, 5, 264

Mr



J. J.

260 - X - B9

1958

Li₂SO₄ (Htr, Hm)

Na₂Si₂O₅ (Hm)

Schwiete H.E., Liegler G.

Ber. Dtsch. keram. Ges., 1958, 35,
N 6, 193-204

Grundlagen und ...

Be

1959

252 X - BP

Li_2SO_4 , Li_2MoO_4 , NaMoO_4 , Na_2SO_4 (Ttr)

Бергман А.Г., Коробка Е.И.
Ж.неорган.химии, 1959, 4, № I,
II0-II6

Диаграмма плавкости ...

Be

TX - 2154

1959

LiF, LiBr, NaCl, NaClO₃, NaNO₃, NaBrO₃,
NaJO₃, KJ, KCl, KNO₃, RBF, CsCl, Li₂SO₄,
K₂SO₄, Na₃[Fe(CN)₆], K₃[Fe(CN)₆], Ba(NO₃)₂,
La(NO₃)₃.
(S. Hag)

Lange E.

Structure Electrolyt. Solutions, New York
John Wiley and Sons; Inc. London, Chapman and
Hall, Ltd, 1959, 135-151
Price, 1960, 38063 B-ly

1961

162

, kp, η kp (LiF, NaF, KF, RbF, CsF,

NaJ, KJ, RbJ, CsJ, Li₂SO₄, Na₂SO₄, K₂SO₄,

Rb₂SO₄, Cs₂SO₄).

Joliet J.-E.

C.r.Acad.sci., 1961, 252, N 5,
719-721

Temperatures critiques des ...

Mx

1961

5Б344. Превращение моноклинной формы в кубическую в сульфате лития при 25 000 бар. Pistorius Carl W. F. T. The monoclinic — cubic transition in lithium sulphate to 25.000 bars. «Z. phys. Chem.» (BRD), 1961, 28, № 3—4, 262—267 (англ.).—Посредством измерения электросопротивления при т-рах 560—760° и давл. 0—25 000 б получено полиморфное превращение из монокл. низкотемпературной формы в высокотемпературную кубическую безводную Li_2S . Построена диаграмма $P-T$; линия равновесия монокл. и куб. модификаций описывается ур-ием $T = (7 \pm 3)P + (577 \pm 5)$, где T — т-ра превращения, в °С, P — соответствующее давление в кб. На высокотемпературной рентгеноструктурной установке (РЖХим, 1960, № 22, 88406) определены параметры элементарной ячейки монокл. формы Li_2SO_4 при $500 \pm 25^\circ$: $a_0 8,429 \pm 0,01$ А, $b_0 5,010 \pm 0,01$ А, $c_0 8,593 \pm 0,01$ А, $\beta 108^\circ 4' \pm 3'$. Из сравнения полученных данных со значениями при комнатной т-ре следует, что тепловое расширение происходит в основном вдоль оси c . Объем элементарной ячейки при 500° равен 345 ± 2 A^3 . При линейной экстраполяции до 575° получено значение объема, равное 347 ± 3 A^3 . Объем элементарной ячейки куб. модификации равен 353 A^3 . Скачок объема при превращении равен $\Delta V = 0,9 \pm 0,6$ $\text{cm}^3/\text{моль}$.

Б. Егоров

ФВ-
-X-259

Li_2SO_4

Х. 1962 · 5.

Li₂SO₄

4Б382. Криоскопия в расплавленных солях щелочных металлов. II. Измерения в сульфате лития. Riccardi Riccardo. Crioscopie in sali alcalini fusi. Nota II. Misure in solfato di litio. «Gazz. chim. ital.» 1961, 91, № 12, 1479—1484 (итал.)

Определены мол. понижения т-ры плавления ($\Delta T/m$) при $m \rightarrow 0$) Li_2SO_4 с растворенными: LiF и LiCl ($\Delta T/m \approx 142$), RbCl , KCl и KBr ($\Delta T/m \approx 285$), а также BaSO_4 и PbSO_4 ($\Delta T/m \approx 141$). На основании полученных данных установлено существование ионов Li^+ и SO_4^{2-} в расплавленном Li_2SO_4 . Сообщение I см. РЖХим, 1962, 2Б382.

Б. Каплан

X-1963-4.

2Б330

Austin J. M., Mair A. D.

I962

LiSO₄

Стандартная энталпия образования
комплексных ионов сульфата в воде.

I.

"J. Phys. Chem.", I962, 66, №3, 519

X-I963-2

Д

Li_2SO_4

B9P337-X

1962

$\text{Zn}_2\text{SO}_4 \cdot \text{NiSO}_4$

Городка М.С. 4 гр.

(T_m)

И. С. неопр. ссср., 1962, №,
NII, 2600-2805

QPB-X-82

1962

Structure, polymorphy, and formation of mixed crystals in compounds of the type phenakite. Th. Hahn, H. Bielen, W. Eysel, and F. Weber (Univ. Frankfurt/M. Ger.). *Chem. Erde* 22, 175-9(1962). Investigations were made of Li_2SO_4 , Li_2SeO_4 , Li_2BeF_4 , and their hydrates. In the heating microscope, $\text{Li}_2\text{SO}_4 \cdot \text{H}_2\text{O}$ gave up its water beginning at 75° , and was completely free of H_2O at 110° . The corresponding temp. for $\text{Li}_2\text{BeF}_4 \cdot \text{H}_2\text{O}$ was 95° , while $\text{Li}_2\text{SeO}_4 \cdot \text{H}_2\text{O}$ gave up its H_2O under normal pressure at 115° . After elimination of H_2O , the sulfate formed monoclinic crystals, while Li_2BeF_4 corresponded to the rhombohedric type of phenakite. At 585° the Li_2SO_4 changed to an isotropic high-modification. Li_2BeF_4 melted at 475° ; in the heating microscope at 400° a monotropic change to an isotropic substance was observed. Investigations of binary systems between Be_2SiO_4 , Be_2GeO_4 , Zn_2SiO_4 , and Zn_2GeO_4 did not show the high-temp. modifications.

B. F. Grohse

C.A. 1963 58-12
12148d

DA

Li_2SO_4
84

Беседа У. Н., 1963
Чекова Н. Н.

Трианна
 T_{t2}, T_m

Муром. Кировская. ~~Коломенка~~,
1963, 8, с. 1442

[28]



Li_2SO_4
 T_{t2}, T_m

ФВ-Х-442

1963

Li₂SO₄

(T_{t2})

Рассонская У. С.

Семенджева Н. К.,

ЖХХ, 1963, 8, 1419

X-1964-25433

IX 350

1963

BaSiO_3 ; BaTiO_2 ; BaTiO_3 ;
 Li_2SO_4 ; K_2SO_4 (Tm)

Шаховский А. А., Красноборов О. Г.,
Берберовка И. М.

Тр. Всес. Совета по физ. эксперименту
расщепления. совет, киев,
1963, № 3-8, (Ред. 1969) б

1964

X11

$\text{LiOH} \cdot \text{H}_2\text{O}$; $\text{Li}_2\text{SO}_4 \cdot \text{H}_2\text{O}$; (P, A II)

Bach R.O., Boardman J.W., Forsyth H.W.
Chimia, 1964, 18, N3, 110-111

The vapor pressure of ...

Be, M

F orig.

PX, 1965, 15399

1965

M-1469

Li_2SO_4 , Na_2SO_4 , K_2SO_4 , Cs_2SO_4 , Rb_2SO_4 ,
 MgSO_4 , ZnSO_4 , CoSO_4 , CdSO_4 (Hg_{tr})

Ingraham T.R., Marier P.,
Canad. Met. Quart., 1965, 4, 169-
176

B

1965

 Li_2SO_4

З Е272. Изучение изотопического эффекта в точке [фазового] превращения при помощи зонной очистки твердого сульфата лития. Lundén Arnold, Svartesson Erik, Svensson Hérgy. Isotope effect at the transition point studied by zone refining of solid lithium sulfate. «Z. Naturforsch.», 1965, 20a, № 10, 1279—1282 (англ.)

С помощью зонного процесса в твердом состоянии определялась разность ΔT т-р α — β -превращения в ${}^6\text{Li}_2\text{SO}_4$ (I) и ${}^7\text{Li}_2\text{SO}_4$ (II). В двух экспериментах с разным числом проходов n (10 и 1) использовались образцы, которые представляли собой пластины II с примесью I, сложенные «столбиком» в стеклянную трубку, а в третьем ($n=1$) — такой же образец, но подвергнутый предварительному отжигу с целью полного спекания пластины и гомогенизации образца. После осуществления зонного процесса, при котором т-ра зоны на $\sim 12^\circ$ превышала т-ру α — β -превращения (575°C), масс-спектрометрич. методом послойно изучалось распределение изо-

φ. 1966 | 38

толов вдоль образца. На основе полученных данных и известных соотношений теории зонной плавки последовательно определялись эффективный коэф. распределения, равновесный коэф. распределения k_0 и ΔT . Во всех трех экспериментах установлено, что в направлении перемещения зоны происходит обогащение образца изотопом ${}^6\text{Li}$. Т-ра превращения у I оказалась ниже, чем у II, на величину $\Delta T \sim 0,7^\circ$. Найденное для I и II значение $k_0 = 0,996$ подтверждает высказанное ранее Клеммом (Klemm A. Proc. Symp. on Isotope Separation, Amsterdam, 1957, p. 275) мнение о том, что изотопич. эффект при электропереносе обусловлен кинетич. эффектами.

Н. Потапов



1985

Li₂SO₄ · H₂O

15 Б404. О кристаллической структуре моногидрата сульфата лития $\text{Li}_2\text{SO}_4 \cdot \text{H}_2\text{O}$. Раниев Н. В., Датт И. Д., Товбис А. В., Озеров Р. П. «Кристаллография», 1965, 10, № 6, 914—915

Методом наименьших квадратов на основе нейтронографич. данных проведено двумерное уточнение структуры $\text{Li}_2\text{SO}_4 \cdot \text{H}_2\text{O}$, полученной ранее (см. РЖХим, 1964, 3 Б225). Приведены координаты и индивидуальные изотропные т-рные факторы всех атомов, включая Н; $R(h0l)$ 0,24 и $R(0kl)$ 0,15. Межатомные расстояния и валентные углы: Li—O 1,81—2,09, S—O 1,40—1,54, H—O—H 108°44', O—H 0,93 и 0,96, O—H—O 141°54' и 155°12'.
С. Рыкова

X. 1966. 15

Li_2SO_4

Riccardi R.,
Sinistri C.

11965

ΔH_{t_2}

Ricerca scient., 1965, p. 2,
Sect. A, 8, n. 5, 10'26.

ΔH_m

Spuriosamente designato -
se sia secco o non sia secco
analizza qui un pezzo -
di cui c'è un buco nero
molto meno

превращение в окись хрома

(ав. Na_2CrO_4)

ф. 1966:68

L2804 89095t Heats of formation of lithium sulfate and five pota

1966

sium- and lithium-aluminum silicates. Ronald Barany and L. H. Adami (U.S. Bur. of Mines, Berkeley, Calif.). U.S. Dep. Interior, Bur. Mines Rep. Invest. No. 6873, 18 pp. (1966) (Eng). At 298.15°K. the heat of formation of Li_2SO_4 from Li, rhombic S, and O was -343.1 ± 0.7 kcal./mole, and the heat of formation of LiSO_4 monohydrate from Li, rhombic S, O, and H was -414.3 ± 0.7 kcal./mole. For the silicates, the heats of formation at 298.15°K. from the elements were: kaliophilite, -503.8 ± 0.5 kcal./mole; leucite, -721.6 ± 0.8 kcal./mole; eucryptite, -505.2 ± 0.6 kcal./mole; α -spodumene, -727.9 ± 0.9 kcal./mole; and β -spodumene, -721.1 ± 0.9 kcal./mole. The corresponding heats of formation of 298.15°K. from the constituent oxides were kaliophilite, -42.7 ± 1.1 kcal./mole; leucite, -42.8 ± 1.1 kcal./mole; eucryptite, -16.1 ± 0.7 kcal./mole; α -spodumene, -21.0 ± 0.7 kcal./mole; and β -spodumene, -14.3 ± 0.7 kcal./mole.

C. W. Schuck

C. A. 1967. 66. 20

1966

Lig 804

Riccardi R., Sinistri C.,
Ric. Sci.)

(Rend. Sez., 1965, 8A, (5),

1026 - 37

Pyruvate DTA Zug
oxydation star in αHn

C.A., 1965

69 (10)

13462c

Peween 22.8 m 225°

Wabewab 225°, 22.0

Kayen 12 m.

$\text{LiCl} \cdot 2\text{NaCl}$ (T_m , inc.)

X 3932
1967

$\text{Li}_2\text{SO}_4 \cdot \text{Na}_2\text{SO}_4$ (T_{tz})

Akonov E.K., Бергманн А.Г.,
Докторат. диссертация, 1967, 12, N11,
3210-11

Состав $\text{Li}, \text{NaCl}, \text{SO}_4$

PX 1968

95734

59

Li_2SO_4 - K_2SO_4

Б. № 4529-Х

1967

Иконов Е. Н.

Укз. №е. №., 1967,

33, н° 5, 446-9

Фасолье гиацинтий и
желтые цветы обладают
свойствами предотвращения
размножения вредителей.

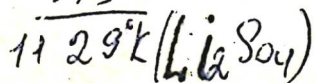
C.A. 67:14 1892 V

Синие ог.

Типология. Имена. Слово имеет X.2;
некоторые из которых (имеющие раз-
личные оттенки)

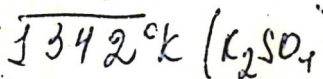
$$T_m = 856$$

$$273$$



$$1069$$

$$243$$



Li HSO₄

1967

№ 9 В8. Химия трехокиси серы. XVIII. Кислый сульфат лития и продукт его конденсации. Агнольд, К., Лехманн Н. А. Zur Chemie des Schwefeltrioxids. XVIII. Über das Lithiumhydrogensulfat und sein Kondensationsprodukt. «Z. anorgan. und allgem. Chem.», 1967, 354, № 1-2, 56—59 (нем.; рез. англ.)

Описан синтез и некоторые свойства LiHSO₄ (I). Для получения чистого I точно стехиометрического состава смешивают насыщенный р-р Li₂SO₄ (II) в свежеприготовленной H₂SO₄ (III) с двукратным объемом CH₃NO₂ (IV), предварительно перегнанным над P₄O₁₀. Осадок отфильтровывают в сухой атмосфере, промывают IV и высушивают в вакууме при длительном нагревании до

x. 1968. 9

50°. При нагревании чистого I в эвакуированном сосуде обнаружено, что разложение I с образованием II и III начинается при т-ре $> 130^\circ$. Если в эвакуированную ампулу поместить I и избыток III, то при т-ре $\sim 200^\circ$ I количественно превращается в $\text{Li}_2\text{S}_2\text{O}_7$ (V). К образованию V приводит и нагревание в вакууме до 200° смеси II и III с одновременным вымораживанием летучих продуктов р-ции. В свою очередь, разложение чистого V в вакууме протекает интенсивно при т-ре $\sim 250^\circ$. Сообщение XVII см. РЖХим, 1966, 23B19.

С. С. Бердоносов

Li₂SO₄

1964

5 Е273. Дифференциальный термический анализ Li₂SO₄ с примесями Na₂SO₄, Rb₂SO₄, Cs₂SO₄. Augustsson Bengt, Gustafsson Jan. Differential thermal analysis of lithium sulphate with small quantities of sodium, rubidium and cesium sulphate. «Z. Naturforsch.», 1967, 22a, № 10, 1634—1636 (англ.)

Изучались бинарные системы: Li₂SO₄—Na₂SO₄ (до 10 мол. %), Li₂SO₄—Rb₂SO₄ (до 3 мол. %), Li₂SO₄—Cs₂SO₄ (до 3 мол. %). Скорость повышения т-ры при измерениях 10 град/мин. По результатам дифференциального термич. анализа построены фазовые диаграммы систем.

Е. А. Кривандина

09. 1988. 58

1967

11 Б765. Дифференциальный термический анализ сульфата лития с небольшими добавками сульфатов натрия, рутидия и цезия. Augustsson Bengt, Gustafsson Jan. Differential thermal analysis of lithium sulphate with small quantities of sodium, rubidium and cesium sulphate. «Z. Naturforsch.», 1967, 22 a, № 10, 1634—1636 (англ.)

Изучались методом ДТА бинарные системы: Li_2SO_4 — Na_2SO_4 (до 10 мол. % Na_2SO_4), Li_2SO_4 — Rb_2SO_4 (до 3 мол. % Rb_2SO_4) и Li_2SO_4 — Cs_2SO_4 (до 3 мол. % Cs_2SO_4). Построены фазовые диаграммы изученных систем. В системе Li_2SO_4 — Na_2SO_4 в интервале т-р между 570° (переход $\alpha \rightleftharpoons \beta$) и солидусом переходов 2-го порядка не обнаружено, в отличие от систем с Rb_2SO_4 и Cs_2SO_4 , в к-рых переходы фиксируются при конц-ии примесей <2 мол. %.

Е. А. Кривандина

X 1968 II

1967

Li₂SO₄

Д 11 Б782. Фазовые диаграммы сульфата, селената и хромата лития при давлении до 40 кбар. *Pistorius*. Carl W. F. T. Phase diagrams of lithium sulphate, selenate and chromate to 40 kbar. «J. Phys. and Chem. Solids», 1967, 28, № 9, 1811—1819 (англ.)

F_{Tz}

Изучены фазовые переходы Li_2SO_4 , Li_2SeO_4 и Li_2CrO_4 при давлении до 40 кбар. Исследование проведено методом ДТА в аппарате высокого давл. типа цилиндр — поршень. Анализ тв. фаз проведен рентгеновским методом. Найдены три новые модификации Li_2SO_4 , устойчивые при повышенном давл. — III, IV и V, кроме ранее известных модификаций I и II. Координаты тройных точек I/II/III 10,7 кбар и 604° ; III/IV/II 14,8 кбар и 598° ; III/V/IV 20,1 кбар и 670° ; I/V/III 21,5 кбар и 713° . Ромбоэдрич. фаза LiSeO_4 II, при 653° переходит в высокотр.ную модификацию Li_2SeO_4 I. На р—т-диаграмме Li_2SeO_4 отмечены еще 4 модификации, устойчи-

(x2)

X: 1968: 11.



вые при повышенном давл.: III, IV, V, VI. Координаты тройных точек I/III/II \sim 11,8 кбар и 700° ; III/V/II 20,2 кбар и 689° ; I/IV/III 20,5 кбар и $\sim 726^\circ$; I/VI/IV 30,6 кбар и 780° ; VI/V/IV 35,9 кбар и 726° . На кривой плавления Li_2CrO_4 I найден максимум при 2,4 кбар и $494,5^\circ$. Кривая плавления Li_2CrO_4 II имеет отрицательный наклон. После тройной точки II/III/жидкость при 9,5 кбар и 488° кривая плавления идет круто вверх с начальным наклоном $15,8^\circ$.

В. А. Зильберштейн

БР-Х-6040

1967

$\text{Li}_2\text{SO}_4 \cdot \text{H}_2\text{O}$

21 Б779. Иконгруентное плавление и полиморфизм $\text{Li}_2\text{SO}_4 \cdot \text{H}_2\text{O}$ при давлениях до 40 бар. Pistorius
Лаг W. F. Т. Incongruent melting and polymorphism of $\text{Li}_2\text{SO}_4 \cdot \text{H}_2\text{O}$ up to 40 Kilobars. «Z. phys. Chem.» (BRD), 1967, 54, № 5-6, 225—228 (англ.)

полимор-
физм

С помощью ДТА (скорость нагрева 0,3—1,0°/сек.), в аппарате высокого давления типа поршень—цилиндр, исследован полиморфизм $\text{Li}_2\text{SO}_4 \cdot \text{H}_2\text{O}$ при давл. до 40 кбар и т-ре 200—450°. $\text{Li}_2\text{SO}_4 \cdot \text{H}_2\text{O}$ плавится иконгруэнто с образованием $\text{Li}_2\text{SO}_4\text{-II}$; при 23 кбар и 352° образуется новая модификация $\text{Li}_2\text{SO}_4 \cdot \text{H}_2\text{O-II}$, линия иконгруэнтного плавления к-рой прослежена до давл. 37,6 кбар и т-ры 392°. Тройная точка $\text{Li}_2\text{SO}_4\text{-II}/\text{Li}_2\text{SO}_4\text{-IV}/\text{Li}_2\text{SO}_4 \cdot \text{H}_2\text{O-II}$ зафиксирована при 24,8 кбар и 360°.

Л. В. Шведов

x. 1967. 21

1884

Li₂SO₄Li₂SeO₄Li₂CrO₄

gray stone

graphite

+2

103234s Phase diagrams of lithium sulfate, selenate, and chromate to 40 kilobars. Carl W. F. T. Pistorius (South African Council Sci. Ind. Res., Pretoria). *J. Phys. Chem. Solids* 28(9), 1811-19(1967)(Eng). The phase diagrams of Li₂SO₄, Li₂SeO₄, and Li₂CrO₄, have been studied to 40 kilobars. Three new high-pressure phases have been found for Li₂SO₄. Li₂SeO₄ crystallizes in the phenakite structure at room temp. There is a transition at 653°. Four other high-pressure phases have been found. The melting curve of Li₂CrO₄ I has a max. at 2.4 kilobars. The melting curve of Li₂CrO₄ II is also abnormal, and falls with increasing pressure. There is a second triple point at 9.5 kilobars, 488.5° with the appearance of a new high-pressure form, Li₂CrO₄ III. The melting curve of Li₂CrO₄ III is normal, and rises rapidly with pressure. 40 references.

RCKH

C.A. 1884. 04. 22



lit; NaF; KF(Tcp) Na₂SO₄; Na₂WO₄; X3931
Na₂MnO₄; Li₂SO₄; K₂WO₄ (Cp, Cv). 1967

Petit G., Blanc M.,
Rev. internat. hautes. températ. et
réfract., 1964, Y, N3, 183-196
les techniques dilatométriques.

(Cp)

PX1968, 185653

Ec	Q. H.
B,	MX

ca 1968

Li_2SO_4
4895

Рассонская Н. С., 1967
Слесаревская Н. Г.

Пристань
 T_m

нр. изобр. 12. Киселев

1967, 12, c. 900



[31]



Li_2SO_4
 T_m .

1968

Li_2SO_4
 Na_2SO_4
 K_2SO_4
 Rb_2SO_4
 Cs_2SO_4

) 9 Б6665. Истинная теплоемкость сульфатов элементов первой группы. Шмидт Н. Е. «Ж. неорганической химии», 1967, 12, № 7, 1766—1770

В адиабатическом калориметре измерена истинная теплоемкость сульфатов щел. металлов в интервале 300—770° К. Установлено наличие у исследованных сульфатов на кривых теплоемкости точек перегиба, принятых за начало полиморфных превращений. Превращения классифицированы, как превращения второго рода.

Автореферат

(4) 9
x

Бессіб І берегу.

X · 1968 · 9

☒

Li_2SO_4 , Na_2SO_4 , K_2SO_4 , Rb_2SO_4 , Cs_2SO_4 | 1967

$\mu = \mu_{\text{ref}}$.
metal A

94566x True specific heat of the alkali metal sulfates. N. E. Shmidt. *Zh. Neorg. Khim.* 12(7), 1766-70(1967)(Russ). Molar heat capacity (C_p) of alkali sulfates was measured in an adiabatic calorimeter from 300 to 770°K. Results are tabulated and plotted against temp. $C_p = a + bT + cT^{-2}$ from 298 to 505°K. (inflection point) when polymorphic transformation starts. Coeffs. a , b , c of the equation and C_p values at 298.15°K. of alkali sulfates are listed. 15 references. I. K. Scholucha

Received 14 September.

C_p

(+4)

C.A. 1967. V7.20

Li_2SO_4

ВФ-6901-8

1968

22 Б901. Термографический и рентгенофазовый анализ системы Li_2SO_4 — Na_2SO_4 . Акопов Е. К. «Ж. неорган. химии», 1968, 13, № 7, 1941—1945

Система Li_2SO_4 — Na_2SO_4 исследована термографическим и рентгенофазовым методами. Подтверждено образование инконгруэнтно плавящихся соединений $\text{Li}_2\text{SO}_4 \cdot \text{Na}_2\text{SO}_4$ и $\text{Li}_2\text{SO}_4 \cdot 2\text{Na}_2\text{SO}_4$ и наличие второго полиморфного превращения у Li_2SO_4 в процессе охлаждения при 650° .

Автореферат

Х. 1968 · 22

Б №-6153-Х

1968

Li_2SO_4

24 Б515. Термический анализ систем $\text{KCl}-\text{K}_2\text{SO}_4$ и $\text{LiCl}-\text{Li}_2\text{SO}_4$. Акопов Е. К., Коробка Е. И. «Ж. неорган. химии», 1968, 13, № 8, 2312—2313

Методом ДТА изучены двойные системы $\text{KCl}-\text{K}_2\text{SO}_4$ и $\text{LiCl}-\text{Li}_2\text{SO}_4$. На диаграмме второй системы отражено второе полиморфное превращение Li_2SO_4 при 650°.

Автореферат

T_{tr}

X. 1968.

24

1968

 Li_2SO_4

16 Б644. Масс-спектрометрическое исследование при высоких температурах. XXIX. Термическое разложение и сублимация сульфатов щелочных металлов. Ficalonga P.-J., Uy O. M., Muelow D. W., Margrave J. L. Moss spectrometric studies at high temperatures. XXIX. Thermal decomposition and sublimation of alkali metal sulfates. «J. Amer. Ceram. Soc.», 1968, 51, № 10, 574—577
(англ.)

Масс-спектрометрически при высоких т-рах (950—1250° К) по методу Кнудсена определены равновесные давл. и состав пара сульфатов: Li_2SO_4 , Na_2SO_4 , K_2SO_4 , Rb_2SO_4 , и Cs_2SO_4 . При разложении Li_2SO_4 и Na_2SO_4 в составе пара обнаружены ионы Li^+ или Na^+ и SO_3^+ , SO_2^+ , O_2^+ , SO^+ , S^+ . Считают, что последние два иона образуются как осколки молекул. Сделан вывод о

+4

Х. 1969.

16

X

механизме разложения Li_2SO_4 и Na_2SO_4 по урнам:
 $\text{M}_2\text{SO}_4(\text{т}) = 2\text{M}(\text{г}) + \text{SO}_2(\text{г}) + \text{O}_2(\text{г})$ (1); $\text{SO}_2(\text{г}) + 1/2 \text{O}_2(\text{г}) =$
 $\text{SO}_3(\text{г})$ (2). Состав пара над тв. и расплавленными
 Li_2SO_4 и Na_2SO_4 идентичен. При нагревании K_2SO_4 ,
 Rb_2SO_4 или Cs_2SO_4 наблюдалось появление ионов типа
 M_2SO_4^+ , M_2O^+ , SO_2^+ , SO_3^+ , O_2^+ , SO^+ , S^+ . Показано, что
ионы M_2O^+ образуются путем фрагментации молекул.
Последние три сульфата разлагаются и сублимируют, что
особенно характерно для Rb_2SO_4 и Cs_2SO_4 . Определены
константы равновесия и теплоты разложения для р-ции
(1) в случае Li_2SO_4 , Na_2SO_4 , K_2SO_4 . Теплоты и энтропии
сублимации для мономерных молекул $\text{K}_2\text{SO}_4(\text{т})$,
 $\text{Rb}_2\text{SO}_4(\text{т})$ и $\text{Cs}_2\text{SO}_4(\text{т})$ равны $\Delta H_{(\text{т}, 1154^\circ\text{К})} = 72,8 \pm$
 $\pm 2,0$ ккал/моль и $\Delta S^{\circ}_{(\text{т}, 1154^\circ\text{К})} = 29,2 \pm 1,8$ энтр. ед.;
 $\Delta H_{(\text{т}, 1123^\circ\text{К})} = 69,7 \pm 1$ ккал/моль и $\Delta S^{\circ}_{(\text{т}, 1123^\circ\text{К})} =$
 $= 27,4 \pm 0,8$ энтр. ед.; $\Delta H^{\circ}_{(\text{т}, 1081^\circ\text{К})} = 63,9 \pm 1,7$ ккал/моль
и $\Delta S^{\circ}_{(\text{т}, 1081^\circ\text{К})} = 26,2 \pm 1,6$ энтр. ед., соотв. Сообщ.
XXVIII см. РЖХим, 1969, 9Б88.

И. Карязина